

# Aproximación de $e^z$ a través de un polinomio de Taylor

José Pedro Hernández Enríquez  
Departamento de Aplicación de Microcomputadoras  
Instituto de Ciencias, Universidad Autónoma de Puebla  
Apartado Postal 461, (72000) Puebla, Puebla, México

4 de marzo de 1994

## Abstract

Sabemos que si una función es continua y derivable se puede aproximar por un polinomio de Taylor. Las preguntas que surgen son, ¿qué tan precisa es la aproximación y si el polinomio se comporta en forma parecida a la función que aproximan?. Se responde a estas preguntas estudiando la aproximación de  $e^z$  a través de un polinomio de Taylor.

## Planteamiento

Las ideas principales para la elaboración del presente documento las dió el Dr. Harold V. McIntosh durante el curso de Análisis Numérico I que impartió durante el primer semestre de 1992 en el Colegio de Computación.

Sabemos de los cursos de Cálculo que si una función es continua y derivable se puede aproximar por un polinomio de Taylor. El estudio de las propiedades de los polinomios es importante porque en algunas aplicaciones se emplean para aproximar funciones. Las preguntas que surgen es qué tan precisa es la aproximación y si se comportan en forma parecida a la función que aproximan. Recordemos que a una función de la forma

$$P(x) = a_n x^n + a_{n-1} x^{n-1} + \cdots + a_1 x + a_0$$

donde las  $a_i$ , llamadas coeficientes de P, son constantes y  $a_n \neq 0$ , se le llama un polinomio de grado  $n$ . Generalmente se pide encontrar los valores de la variable  $x$  que anulan a la función esto es  $P(x) = 0$ . A la  $x$  que anula a la función se le llama raíz.

En el curso de Análisis Numérico I se estudiaron funciones de variable compleja, se dijo también que algunas funciones de variable compleja se pueden aproximar a través de polinomios complejos, y en particular se indicó se estudiara la función exponencial y se aproximara por medio de un polinomio de Taylor. Dos preguntas nos guiarían en su estudio:

a) ¿La función  $e^z$  tiene ceros?

Es decir para que valores de  $z$  se tiene que  $e^z = 0$ .

b) ¿Cuáles son los ceros del polinomio de Taylor que aproxima a  $e^z$ ?

Estas dos preguntas nos conducen a otras:

- i) Si  $e^z$  tiene ceros, entonces, ¿los ceros del pol. de Taylor que la aproxima son los mismos?
- ii) Si  $e^z$  no tiene ceros, entonces, ¿qué ocurre con los ceros del polinomio de Taylor que la aproxima?
- iii) ¿Se puede predecir el comportamiento de los ceros del polinomio de Taylor que aproxima a  $e^z$ ?

## Análisis

Una de las propiedades de  $e^z$  es:

$$e^{z_1} e^{z_2} = e^{z_1+z_2}$$

En particular se cumple que:

$$e^z e^{-z} = e^{z-z} = e^0 = 1$$

como  $z$  es cualquier número complejo del resultado anterior y del teorema que dice que el producto de dos números complejos es igual a cero, sí y sólo si, al menos uno de los factores es cero, tenemos que  $e^z$  no es igual a cero.

Por lo estipulado en el párrafo anterior se da respuesta a la pregunta a) e i),  $e^z$  no tiene ceros y por lo tanto no pueden coincidir con los del polinomio de Taylor que la aproxima.

La pregunta b) se basa en el resultado conocido como Teorema Fundamental del Álgebra (TFA) que dice:

Si  $P$  es un polinomio de grado  $n \geq 1$ , entonces  $P(x) = 0$  tiene cuando menos una raíz (posiblemente compleja).

Corolario

Si  $P(x) = a_n x^n + a_{n-1} x^{n-1} + \dots + a_1 x + a_0$  es un polinomio de grado  $n \geq 1$ , entonces existen constantes únicas  $x_1, x_2, \dots, x_k$ , posiblemente complejas, y enteros positivos,  $m_1, m_2, \dots, m_k$  tales que  $\sum_{i=1}^k m_i = n$  y

$$P(x) = a_n (x - x_1)^{m_1} (x - x_2)^{m_2} \dots (x - x_k)^{m_k}$$

El TFA junto con el corolario nos dice que, todo polinomio con coeficientes complejos tiene  $n$  raíces (posiblemente complejas).

Del TFA y de la respuesta de a) nos ha llevado a la pregunta ii).

La pregunta iii) es importante ya que nos podría aclarar el comportamiento del polinomio en general.

Para dar respuesta a ii) y iii) se realizó con la ayuda del programa de graficación PLOT en la versión en lenguaje 'C', los programas pexp.c, cmuller.c, gemc.c, gep.c y empleando las

microcomputadoras tipo PC y los graficadores Hiplot DMP-29 del Departamento de Aplicación de Microcomputadoras.

La aproximación de la  $e^z$  por medio de un pol. de Taylor en el punto 0 es:

$$e^z = 1 + z + \frac{z^2}{2!} + \frac{z^3}{3!} + \frac{z^4}{4!} + \frac{z^5}{5!} + \dots$$

donde  $z = x + yi$ .

La aproximación a  $e^z$  es mejor si el grado del polinomio de Taylor es grande. Sin embargo, al realizar la evaluación del polinomio para un grado alto, se tendrán dificultades debido a que intervienen potencias y factoriales cada vez más grandes.

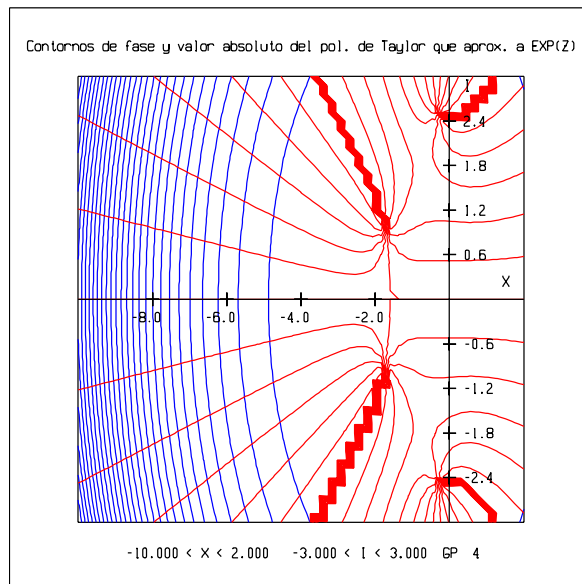
A partir de los polinomios de grado quinto no existen métodos para encontrar las raíces en función de los coeficientes. Las técnicas numéricas se emplean en la resolución de una ecuación cuando la solución exacta no se puede encontrar por métodos algebraicos.

Se implementó una biblioteca con funciones que manejan números complejos, la cual se integró al programa PLOT.

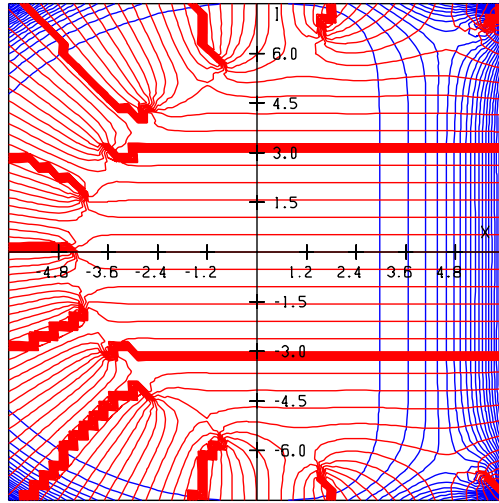
Se emplea en los programas "gemc.c" y "gep.c" el método de Gauss con pivoteo parcial, para resolver un sistema de  $m$  ecuaciones con  $n$  incógnitas.

Se emplea el algoritmo de Horner (división sintética) para la evaluación de los polinomios en un valor dado.

El programa "pexp.c" se realizó para obtener la superficie y los contornos de valor absoluto y los contornos de fase de los diferentes polinomios de Taylor que aproximan a  $e^z$ , como primer paso para la obtención de las raíces ya que los contornos de fase muestran la región del plano complejo donde se encuentran. Se obtuvieron las gráficas siguientes:

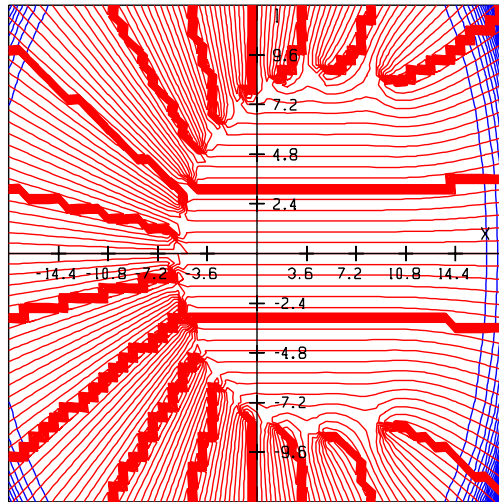


Contornos de fase y valor absoluto del pol. de Taylor que aprox. a EXP(Z)



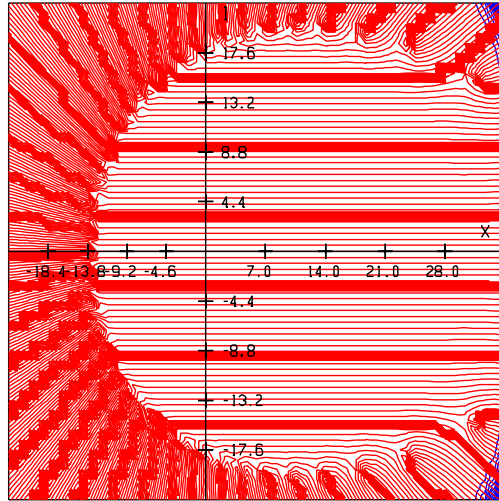
$-6.000 < X < 6.000$   $-7.500 < Y < 7.500$  GP 13

Contornos de fase y valor absoluto del pol. de Taylor que aprox. a EXP(Z)



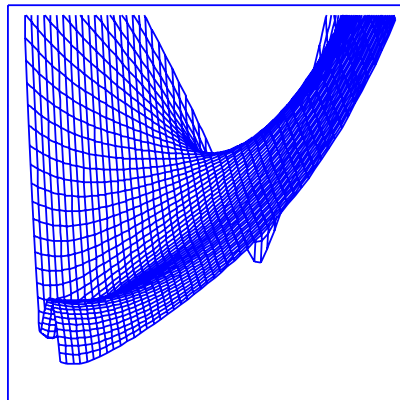
$-18.000 < X < 18.000$   $-12.000 < Y < 12.000$  GP 18

Contornos de fase y valor absoluto del pol. de Taylor que aprox. a EXP(Z)

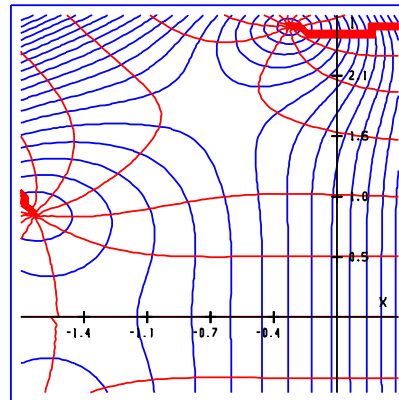


-23.000 < X < 35.000 -22.000 < I < 22.000 GP 45

Aproximacion de EXP(Z) por un pol. de Taylor



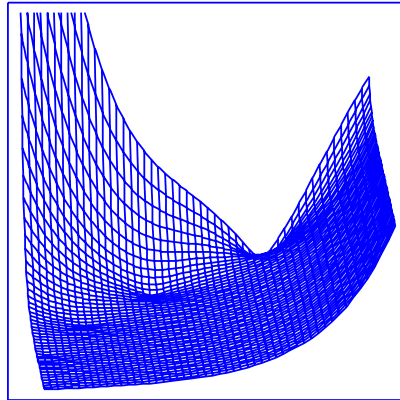
Superficie del valor absoluto



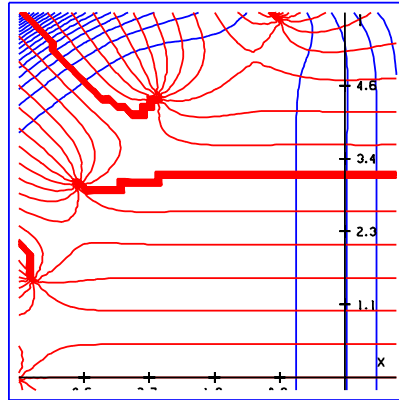
Contornos de fase y valor absoluto

-1.800 < X < 0.350 -0.650 < I < 2.600 GP 4

Aproximacion de EXP(Z) por un pol. de Taylor



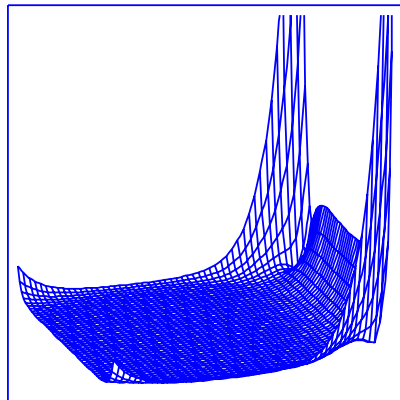
Superficie del valor absoluto



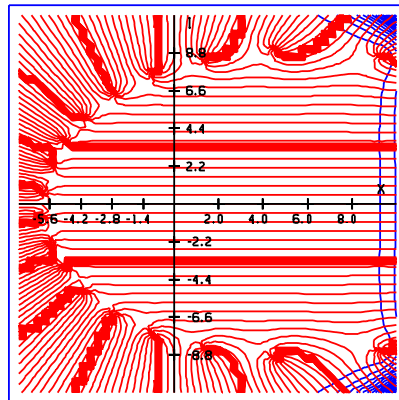
Contornos de fase y valor absoluto

-4.450 < X < 0.700 -0.200 < I < 5.750 GP 13

Aproximacion de EXP(Z) por un pol. de Taylor

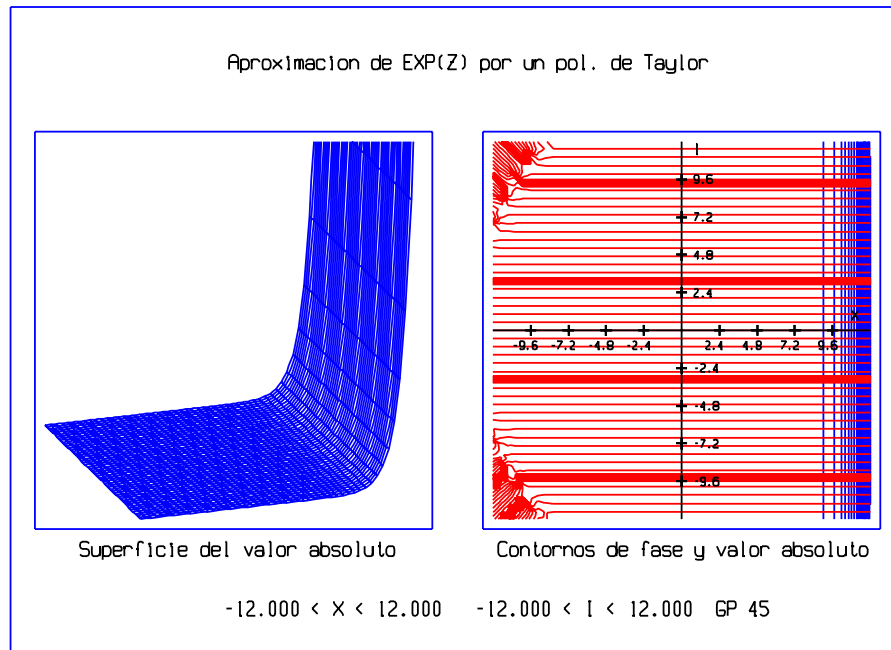


Superficie del valor absoluto



Contornos de fase y valor absoluto

-7.000 < X < 10.000 -11.000 < I < 11.000 GP 18



Con la ayuda de las gráficas previas y el programa “cmuller.c” se calcularon las raíces del polinomio de Taylor que aproxima a la exponencial.

El programa “cmuller.c” encuentra una raíz compleja de un polinomio por el Método de Müller, solicita se le proporcione una aproximación a la raíz, la cual se puede obtener al observar los contornos de fase generados por el programa “pexp.c”.

El método de Müller usa tres aproximaciones iniciales  $x_0$ ,  $x_1$  y  $x_2$  y determina la siguiente aproximación  $x_3$  considerando la intersección del eje  $x$  con la parábola que pasa por  $(x_0, f(x_0))$ ,  $(x_1, f(x_1))$  y  $(x_2, f(x_2))$ .

Una vez que se determina  $x_3$ , se repite el proceso usando  $x_1$ ,  $x_2$  y  $x_3$  en lugar de  $x_0$ ,  $x_1$  y  $x_2$  para determinar la siguiente aproximación  $x_4$ . El método continúa hasta que se obtiene una aproximación a la raíz.

La selección de las aproximaciones iniciales no es un factor crítico y se pueden seleccionar cualesquier valores para  $x_1$ ,  $x_2$  y  $x_3$  siempre que estén cerca del cero. Además con este método se pueden encontrar raíces complejas.

Las raíces son:

$$GP = 1$$

$$R1 = -1.0$$

$$GP = 2$$

$$R1 = -1.0 + 1.0i$$

$$R2 = -1.0 - 1.0i$$

GP = 3	GP = 4
R1 = -1.596072	R1 = -1.729444 + 0.888974i
R2 = -0.701964 + 1.807339i	R2 = -1.729444 - 0.888974i
R3 = -0.701964 - 1.807339i	R3 = -0.270556 + 2.504776i
	R4 = -0.270556 - 2.504776i
GP = 5	GP = 6
R1 = -2.180607	R1 = -2.361810 + 0.838350i
R2 = -1.649503 + 1.693933i	R2 = -2.361810 - 0.838350i
R3 = -1.649503 - 1.693933i	R3 = -1.441801 + 2.434523i
R4 = 0.239806 + 3.128335i	R4 = -1.441801 - 2.434523i
R5 = 0.239806 - 3.128335i	R5 = 0.803612 + 3.697702i
	R6 = 0.803612 - 3.697702i
GP = 7	GP = 8
R1 = -2.759003	R1 = -2.964600 + 0.808878i
R2 = -2.379884 + 1.628999i	R2 = -2.964600 - 0.808878i
R3 = -2.379884 - 1.628999i	R3 = -2.286429 + 2.377712i
R4 = -1.147201 + 3.124039i	R4 = -2.286429 - 2.377712i
R5 = -1.147201 - 3.124039i	R5 = -0.788794 + 3.771811i
R6 = 1.406586 + 4.225067i	R6 = -0.788794 - 3.771811i
R7 = 1.406586 - 4.225067i	R7 = 2.039822 + 4.718615i
	R8 = 2.039822 - 4.718615i
GP = 9	GP = 10
R1 = -3.333551	R1 = -3.553876 + 0.789422i
R2 = -3.038648 + 1.586801i	R2 = -3.553876 - 0.789422i
R3 = -3.038648 - 1.586801i	R3 = -3.015536 + 2.335224i
R4 = -2.110840 + 3.089911i	R4 = -3.015536 - 2.335224i
R5 = -2.110840 - 3.089911i	R5 = -1.871660 + 3.770190i
R6 = -0.381070 + 4.384645i	R6 = -1.871660 - 3.770190i
R7 = -0.381070 - 4.384645i	R7 = 0.066202 + 4.967679i
R8 = 2.697333 + 5.184162i	R8 = 0.066202 - 4.967679i
R9 = 2.697333 - 5.184162i	R9 = 3.374870 + 5.626020i
	R10 = 3.374870 - 5.626020i
GP = 11	GP = 12
R1 = -3.905452	R1 = -4.135608 + 0.775542i
R2 = -3.664152 + 1.557044i	R2 = -4.135608 - 0.775542i
R3 = -3.664152 - 1.557044i	R3 = -3.688897 + 2.302757i
R4 = -2.917051 + 3.056372i	R4 = -3.688897 - 2.302757i
R5 = -2.917051 - 3.056372i	R5 = -2.757989 + 3.752548i
R6 = -1.581441 + 4.422355i	R6 = -2.757989 - 3.752548i
R7 = -1.581441 - 4.422355i	R7 = -1.249125 + 5.049555i
R8 = 0.546078 + 5.524905i	R8 = -1.249125 - 5.049555i
R9 = 0.546078 - 5.524905i	R9 = 1.053424 + 6.059491i



GP = 11

R10 = 4.069291 + 6.047492i  
R11 = 4.069291 - 6.047492i

GP = 12

R10 = 1.053424 - 6.059491i  
R11 = 4.778196 + 6.451176i  
R12 = 4.778196 - 6.451176i

GP = 13

R1 = -4.475412  
R2 = -4.271244 + 1.534856i  
R3 = -4.271244 - 1.534856i  
R4 = -3.644807 + 3.027344i  
R5 = -3.644807 - 3.027344i  
R6 = -2.548921 + 4.425908i  
R7 = -2.548921 - 4.425908i  
R8 = -0.881341 + 5.654417i  
R9 = -0.881341 - 5.654417i  
R10 = 1.584315 + 6.574007i  
R11 = 1.584315 - 6.574007i  
R12 = 5.499704 + 6.839159i  
R13 = 5.499704 - 6.839159i

GP = 14

R1 = -4.712587 + 0.765103i  
R2 = -4.712587 - 0.765103i  
R3 = -4.330708 + 2.277236i  
R4 = -4.330708 - 2.277236i  
R5 = -3.543834 + 3.731923i  
R6 = -3.543834 - 3.731923i  
R7 = -2.297698 + 5.078392i  
R8 = -2.297698 - 5.078392i  
R9 = -0.483159 + 6.239149i  
R10 = -0.483159 - 6.239149i  
R11 = 2.135677 + 7.070568i  
R12 = 2.135677 - 7.070568i  
R13 = 6.232309 + 7.213148i  
R14 = 6.232309 - 7.213148i

GP = 15

R1 = -5.043887  
R2 = -4.866962 + 1.517629i  
R3 = -4.866962 - 1.517629i  
R4 = -4.327165 + 3.002771i  
R5 = -4.327165 - 3.002771i  
R6 = -3.394874 + 4.417704i  
R7 = -3.394874 - 4.417704i  
R8 = -2.010333 + 5.711727i  
R9 = -2.010333 - 5.711727i  
R10 = -0.058552 + 6.805624i  
R11 = -0.058552 - 6.805624i  
R12 = 2.705050 + 7.550940i  
R13 = 2.705050 - 7.550940i  
R14 = 6.974781 + 7.574562i  
R15 = 6.974781 - 7.574562i

GP = 18

R1 = -5.8577 - 0.75037i  
R2 = -5.8577 + 0.75037i  
R3 = -5.56162 - 2.23972i  
R4 = -5.56162 + 2.23972i  
R5 = -4.95881 - 3.69359i  
R6 = -4.95881 + 3.69359i  
R7 = -4.02589 - 5.08382i  
R8 = -4.02589 + 5.08382i  
R9 = -2.72141 - 6.3739i  
R10 = -2.72141 + 6.3739i  
R11 = -0.97416 - 7.51123i  
R12 = -0.97416 + 7.51123i  
R13 = 1.34476 - 8.41049i  
R14 = 1.34476 + 8.41049i  
R15 = 4.50281 - 8.90883i  
R16 = 4.50281 + 8.90883i  
R17 = 9.252 - 8.59442i  
R18 = 9.252 + 8.59442i

GP = 25

R1 = -7.872305  
R2 = -7.766255 + 1.468153i  
R3 = -7.766255 - 1.468153i  
R4 = -7.446171 + 2.923836i  
R5 = -7.446171 - 2.923836i  
R6 = -6.906072 + 4.353857i  
R7 = -6.906072 - 4.353857i  
R8 = -6.135313 + 5.743473i  
R9 = -6.135313 - 5.743473i  
R10 = -5.117405 + 7.075286i  
R11 = -5.117405 - 7.075286i  
R12 = -3.827918 + 8.327622i  
R13 = -3.827918 - 8.327622i  
R14 = -2.230771 + 9.471931i  
R15 = -2.230771 - 9.471931i  
R16 = -0.271319 + 10.468207i  
R17 = -0.271319 - 10.468207i  
R18 = 2.137688 + 11.256085i  
R19 = 2.137688 - 11.256085i  
R20 = 5.148669 + 11.735090i  
R21 = 5.148669 - 11.735090i  
R22 = 9.072662 + 11.711350i  
R23 = 9.072662 - 11.711350i  
R24 = 14.778359 + 10.692981i  
R25 = 14.778359 - 10.692981i

GP = 45

R1 = -13.495993  
R2 = -13.437175 + 1.429999i  
R3 = -13.437175 - 1.429999i  
R4 = -13.260398 + 2.855943i  
R5 = -13.260398 - 2.855943i  
R6 = -12.964656 + 4.273694i  
R7 = -12.964656 - 4.273694i  
R8 = -12.548259 + 5.678978i  
R9 = -12.548259 - 5.678978i  
R10 = -12.008747 + 7.067274i  
R11 = -12.008747 - 7.067274i  
R12 = -11.342847 + 8.433738i  
R13 = -11.342847 - 8.433738i  
R14 = -10.546330 + 9.773075i  
R15 = -10.546330 - 9.773075i  
R16 = -9.613880 + 11.079406i  
R17 = -9.613880 - 11.079406i  
R18 = -8.538871 + 12.346087i  
R19 = -8.538871 - 12.346087i  
R20 = -7.313089 + 13.565479i  
R21 = -7.313089 - 13.565479i  
R22 = -5.926329 + 14.728637i  
R23 = -5.926329 - 14.728637i  
R24 = -4.365845 + 15.824892i  
R25 = -4.365845 - 15.824892i  
R26 = -2.615537 + 16.841249i  
R27 = -2.615537 - 16.841249i  
R28 = -0.654771 + 17.761519i  
R29 = -0.654771 - 17.761519i  
R30 = 1.543451 + 18.365004i  
R31 = 1.543451 - 18.365004i  
R32 = 4.015429 + 19.224413i  
R33 = 4.015429 - 19.224413i  
R34 = 6.811744 + 19.702392i  
R35 = 6.811744 - 19.702392i  
R36 = 10.006375 + 19.945319i  
R37 = 10.006375 - 19.945319i  
R38 = 13.715056 + 19.871167i  
R39 = 13.715056 - 19.871167i  
R40 = 18.137762 + 19.342547i  
R41 = 18.137762 - 19.342547i  
R42 = 23.680466 + 18.094022i  
R43 = 23.680466 - 18.094022i  
R44 = 31.474447 + 15.453220i  
R45 = 31.474447 - 15.453220i

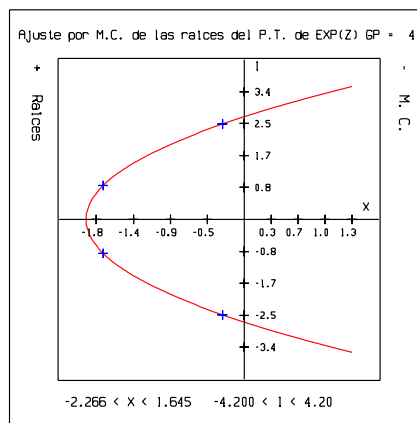
Analizando las gráficas anteriores y las raíces se concluyó lo siguiente:

- Cuando el grado del polinomio de Taylor es par, todas las raíces son complejas.
- Cuando el grado del polinomio de Taylor es impar, una raíz es real y las restantes son complejas.
- Los ceros reales son negativos.
- Los ceros reales se alejan hacia menos infinito conforme el grado del polinomio crece. Por ejemplo:

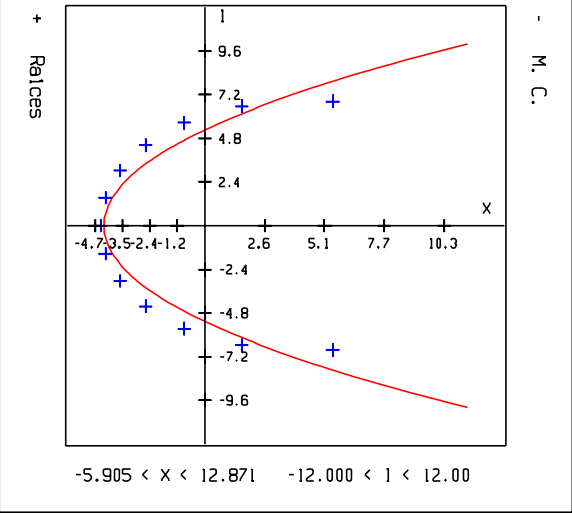
Grado	1	5	15	25	45
Raíz	-1.0	-2.180607	-5.043887	-7.872305	-13.495993

- Los ceros complejos se distribuyen simétricamente alrededor del eje real y un poco más de la mitad de ellos tienen parte real negativa.
- McIntosh observó que en las gráficas de las superficies de valor absoluto de los diferentes polinomios de Taylor que aproximan a  $e^z$ , se observa que el polinomio aproxima a la exponencial adecuadamente dentro del círculo de convergencia de las raíces, fuera del círculo el polinomio toma valores cada vez más grandes y no aproxima a  $e^z$ .

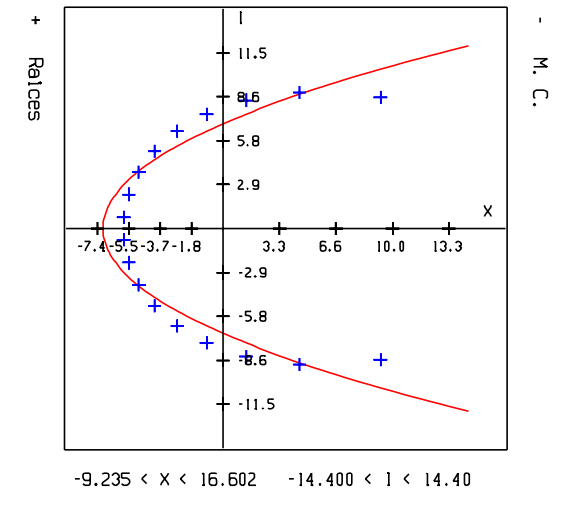
McIntosh comentó que en la Biblioteca del Departamento se encuentra una referencia en la cual se establece que los ceros del polinomio de Taylor que aproxima a  $e^z$  tienden a infinito en forma parabólica. Se buscó la referencia pero no se encontró (la búsqueda no fue exhaustiva), por lo que se realizó un programa llamado "gemc.c" que ajusta las raíces obtenidas del polinomio de Taylor que aproxima a  $e^z$  por el método de mínimos cuadrados con un polinomio de grado dos y grafica éste y las raíces. Se obtuvieron las siguientes gráficas:

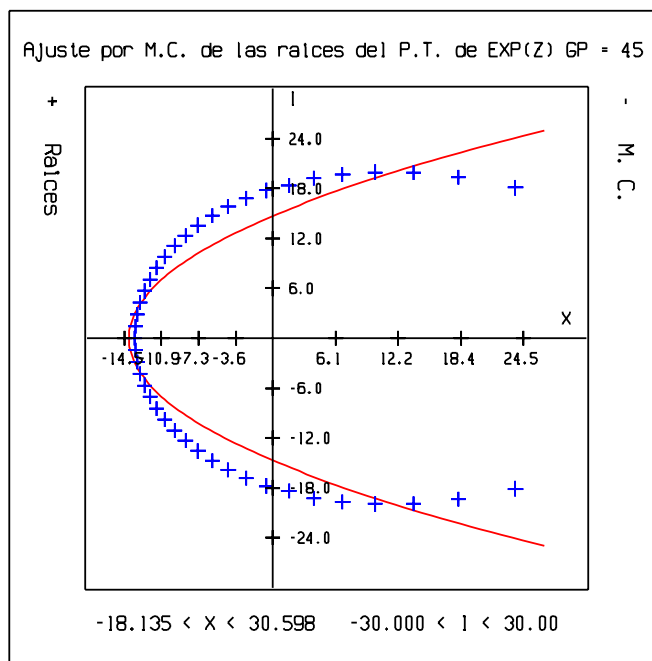


Ajuste por M.C. de las raíces del P.T. de EXP(Z) GP = 13



Ajuste por M.C. de las raíces del P.T. de EXP(Z) GP = 18



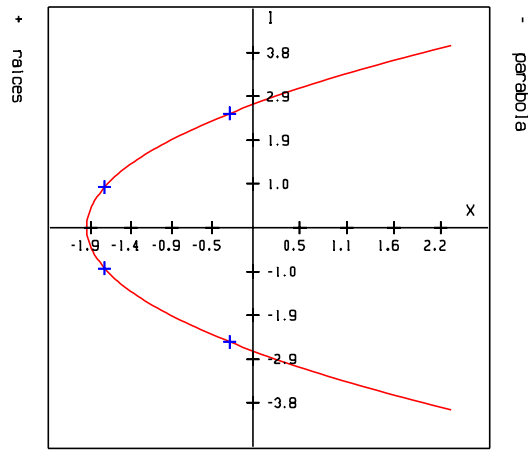


Analizando las gráficas previas se concluyó que:

- El polinomio de mínimos cuadrados de segundo grado únicamente coincide con los polinomios de Taylor de grado tres y cuatro.
- En los polinomios de Taylor de mayor grado las raíces complejas con parte real más positiva tienden a cerrar y a no seguir al polinomio de ajuste de mínimos cuadrados.

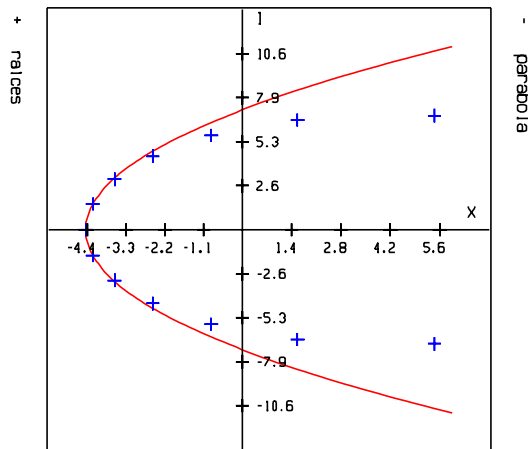
Con respecto al punto anterior, se procedió en otra dirección. Conociendo el eje de la parábola y teniendo tres puntos se puede generar una parábola que pase por los tres puntos. Por lo cual se procedió a tomar las tres raíces que están más cerca del eje real, y tomando el eje real como eje, se generó la parábola que pasa por las tres raíces. Esto se realiza con el programa "gep.c" que toma tres de las raíces obtenidas del polinomio de Taylor que aproxima a  $e^z$  y traza la parábola que pasa por esos tres puntos. Se obtuvieron las siguientes gráficas:

Parabola gen. por 3 raices del P. T. de la EXP(Z) GP = 4



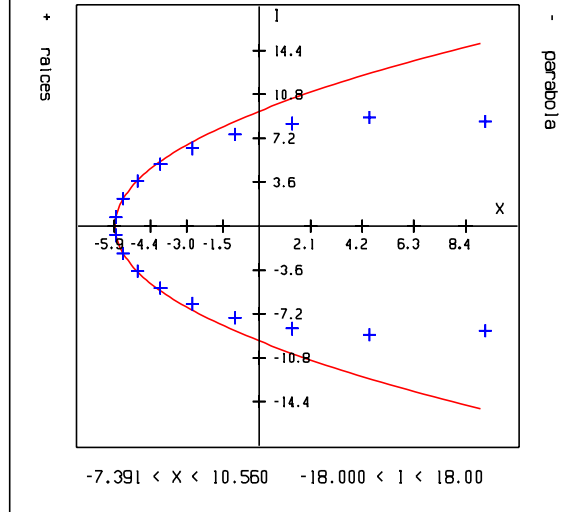
$$-2.365 < X < 2.743 \quad -4.800 < I < 4.80$$

Parabola gen. por 3 raices del P. T. de la EXP(Z) GP = 13

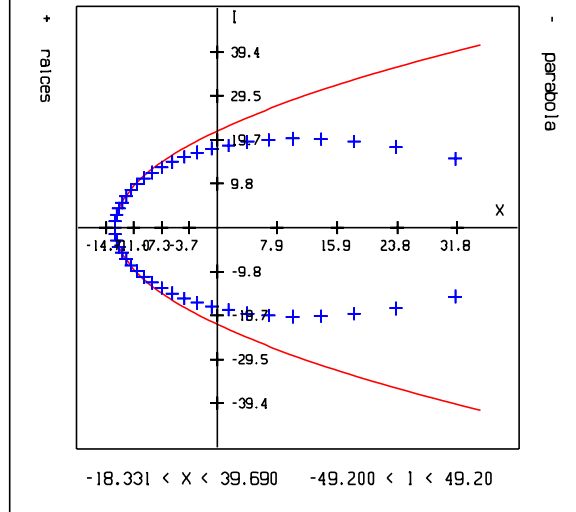


$$-5.524 < X < 7.060 \quad -13.200 < I < 13.20$$

Parabola gen. por 3 raices del P. T. de la EXP(Z) GP = 18



Parabola gen. por 3 raices del P. T. de la EXP(Z) GP = 45

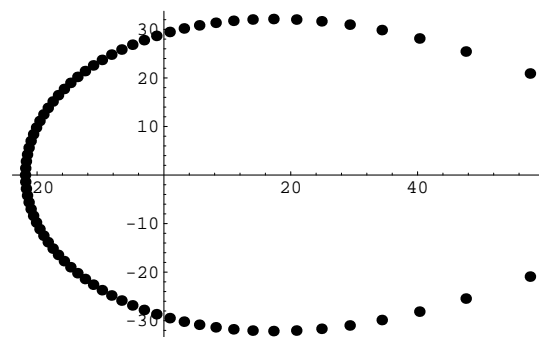
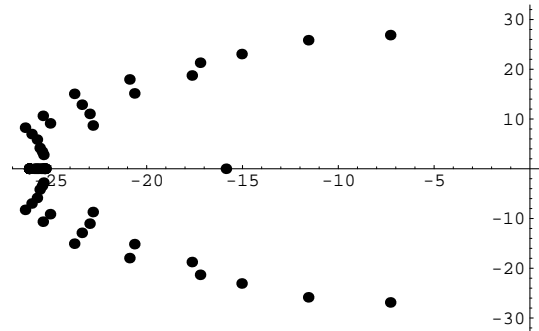


Con respecto a estas gráficas podemos decir:

- Las gráficas muestran que la raíces caen dentro de la parábola generada y que no la ajustan adecuadamente. Sin embargo, se puede pensar en un comportamiento asintótico de las raíces con respecto a la parábola.
- Las raíces del polinomio de Taylor que tienen mayor desviación de la parábola, podrían indicar que posiblemente había errores de redondeo y de truncamiento en la evaluación del polinomio.

Con respecto al último punto se decidió emplear el programa Mathematica para estudiar esa posibilidad. Se calculó las raíces del polinomio de Taylor que aproxima a  $e^z$  con precisión de mil dígitos significativos, comparando este resultado con los obtenidos previamente con el programa “cmuller” los resultados concuerdan. A menos que se requiera una precisión mayor podemos tomar los valores de las raíces como correctos.

Para ilustrar los errores que se generan cuando falla la precisión con el programa Mathematica calculamos la aproximación de la exponencial de grado setenta y cinco ( `poly := Normal[Series[Exp[z], z, 0, 75]]` ) en la forma estándar ( `NSolve[poly==0, z]` ) y en la forma que se define mayor precisión ( `NSolve[poly==0, z, 50]` ) se obtuvieron las siguientes gráficas:





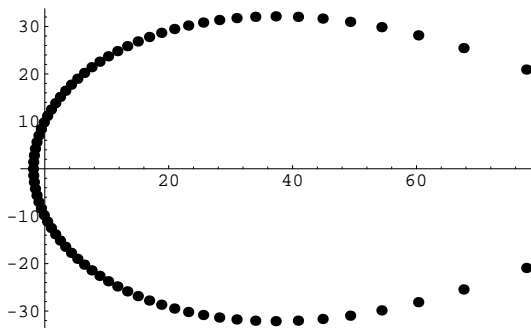
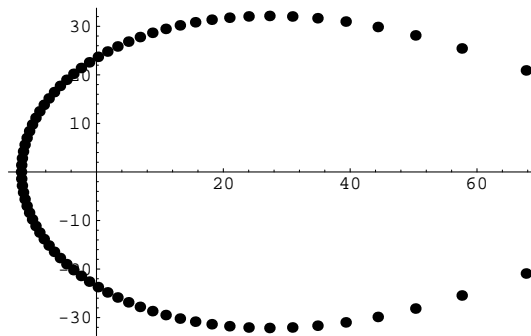
El programa en Mathematica que genera las gráficas previas es:

```
RootPlot[poly_, z_] :=
  ListPlot[ {Re[z], Im[z]} /.
    NSolve[poly==0, z, 50],
    Prolog -> PointSize[0.02] ] /;
  PolynomialQ[poly,z]
```

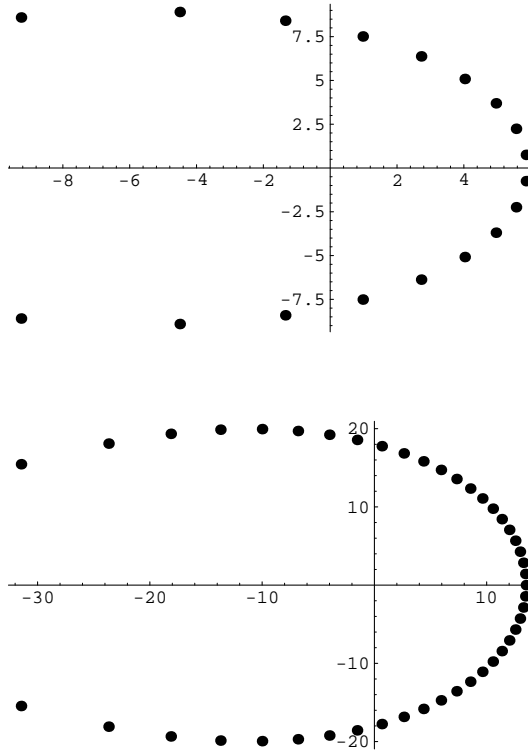
y se le llama así:

```
RootPlot[poly, z]
```

Para observar cómo se comportaba el polinomio de Taylor que aproxima a la exponencial alrededor de puntos distintos al cero, graficamos con Mathematica los ceros de los polinomios de grado 75 en el punto diez y en el punto veinte. Las gráficas correspondientes son:



Para ver si había alguna simetría con respecto a la distribución de las raíces graficamos los ceros de los polinomios de Taylor de grado dieciocho y cuarenta y cinco que aproximan a  $e^{-z}$ , la gráficas correspondientes son:



Buscando en la Biblioteca del Departamento, McIntosh encontró otra referencia titulada, “Zero-Free Parabolic Regions for Sequences of Polynomials” de E. B. Saff y R. S. Varga. En ese artículo se establece la existencia de regiones parabólicas en el plano complejo libres de ceros para algunas secuencias generales de polinomios, y dan como ejemplo de sus resultados que la región:

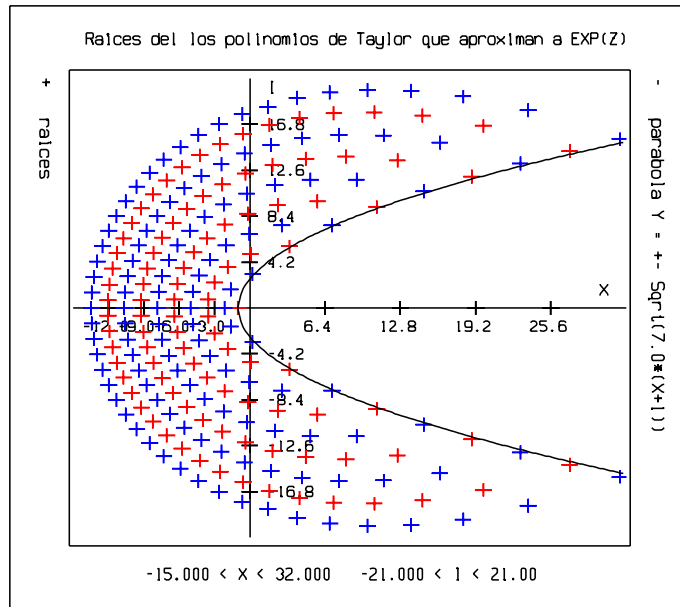
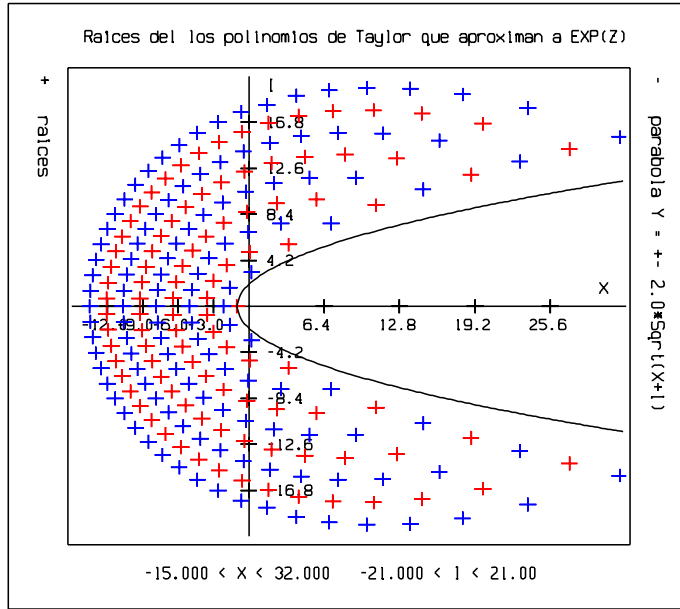
$$y^2 \leq 4(x + 1), \quad x > -1$$

no tiene ceros para todas las sumas parciales de la función exponencial, dada por la aproximación de Padé. Tomando en consideración lo anterior se generaron dos gráficas, en ambas se muestran las raíces de los polinomios (de grado 1, 5, 10, 15, 20, 25, 35, 40 y 45) de Taylor que ajustan a  $e^z$  en el plano complejo junto con la parábola que dan Saff y Varga en un caso, y en el otro se encontró que la región libre de ceros está dada por:

$$y^2 \leq 7(x + 1), \quad x > -1$$

Se determinó este valor tomando como referencia las raíces del polinomio de Taylor de grado sesenta con la parte real más positiva, y como vértice de la parábola  $-1 + 0i$  y el programa “gep.c”.

Las gráficas mencionadas son:



## Bibliografía

Ahlfors, Lars V., "Complex Analysis"  
McGRAW-HILL, Third Edition, 1979.

Burden, Richard L., J. Douglas Faires, "Análisis Numérico"  
Grupo Editorial Iberoamérica, Primera Edición, 1985.

Churchill, R. V., J. W. Brown, R. F. Verhey, "Variables Complejas y sus Aplicaciones"  
McGRAW-HILL, 2a. Edición, 1978.

Hornbeck, Robert W., "Numerical Methods"  
Quantum Publishers, Inc. 1975.

Kempf, James, "Numerical Software Tools in C"  
Prentice-Hall Software Series. 1987.

Lehmann, Charles H., "Geometría Analítica"  
UTEHA, 1977

Saff, E. B., R. S. Varga, "Zero-Free Parabolic Regions for Sequences of Polynomials"  
SIAM J. MATH. ANAL., Vol 7, No. 3, May 1976